

УДК 530.12: 531.51

**О ГЕНЕРИРОВАНИИ СФЕРИЧЕСКИ СИММЕТРИЧНЫХ СТАТИЧЕСКИХ
РЕШЕНИЙ УРАВНЕНИЙ ТЯГОТЕНИЯ И ИЗМЕНЕНИИ АЛГЕБРАИЧЕСКОГО ТИПА
ГРАВИТАЦИОННОГО ПОЛЯ**

А.М.Баранов, Н.Н.Паклин¹

Рассмотрен случай статического сферически симметричного распределения идеальной жидкости. Представлены преобразования метрических коэффициентов в координатах кривизны, приводящие уравнения Эйнштейна к линейному виду. Предложена процедура получения семейства точных решений. Показана возможность нахождения точных решений из известных решений. Линейность уравнения допускает обобщение частных решений на решения с новыми физическими свойствами.

Опыт исследования нелинейных, в общем случае, уравнений Эйнштейна показывает, что наибольший интерес представляют методы получения точных решений из уже известных решений. Тем более интересны случаи, когда уравнения Эйнштейна удается преобразовать к линейному виду, т.к. знание частных решений оказывается полезным при получении общего решения линейного уравнения.

Статическое сферически симметричное распределение вещества формирует гравитационное поле с такой же симметрией. Это гравитационное поле принято описывать в терминах метрических коэффициентов первой квадратичной формы (метрики), которую мы выберем в следующем виде (в координатах кривизны):

$$ds^2 = g_{00}c^2 dt^2 + g_{11}dr^2 - r^2(d\theta^2 + \sin^2\theta d\varphi^2), \quad (1)$$

где $g_{00} = a(r)$, $g_{11} = -b(r)$; t, r, θ, φ – время, радиальная и угловые переменные; c – скорость света.

Вещество будем описывать тензором энергии-импульса идеальной жидкости

$$T_{ik} = (\mu + p)u_i u_k - pg_{ik}, \quad (2)$$

где $\mu(r)$ – плотность энергии; $p(r)$ – давление; u_i – 4-скорость; g_{ik} – метрический тензор, соответствующий

2, 3.

Уравнения Эйнштейна

(1). Индексы i, k пробегает значения 0, 1,

¹ © А.М.Баранов, Н.Н.Паклин, Красноярский государственный университет, 2005; E-mail: bam@lan.krasu.ru, paklin@lan.krasu.ru

$$R_{ik} - \frac{1}{2} R g_{ik} - \Lambda g_{ik} = -\frac{8\pi G}{c^4} T_{ik}, \quad (3)$$

где R_{ik} – тензор Риччи; R – след тензора Риччи (скалярная кривизна); Λ – космологическая постоянная; G – постоянная тяготения Ньютона (далее положим $c = 1$, $G = 1$), в случае статики, сферической симметрии и идеальной жидкости, представляют собой недоопределенную систему обыкновенных дифференциальных уравнений, вообще говоря, нелинейных.

Плотность энергии и давление явно выражаются через метрические коэффициенты и их производные по переменной r , которые будем обозначать штрихом:

$$8\pi\mu = \frac{b'}{rb^2} - \frac{1}{r^2b} + \frac{1}{r^2} + \Lambda, \quad (4)$$

$$8\pi p = \frac{a'}{rba} + \frac{1}{r^2b} - \frac{1}{r^2} - \Lambda. \quad (5)$$

Для двух функций $a(r)$ и $b(r)$ получается одно уравнение нелинейное по каждой из них:

$$\frac{a''}{a} - \frac{1}{2} \frac{a'^2}{a^2} - \frac{1}{r} \left(\frac{a'}{a} + \frac{b'}{b} \right) - \frac{1}{2} \frac{a' b'}{a b} + \frac{2}{r^2} (b-1) = 0. \quad (6)$$

Преобразование уравнений к линейному виду

Исследование показывает, что уравнение (6) можно преобразовать к линейному виду по каждой из функций с помощью подстановок:

$$a = zy^2, \quad b = 1/z. \quad (7)$$

В работах [1, 2] был использован этот вариант, но в неортогональных координатах

$$ds^2 = g_{00} du^2 + 2g_{01} dudr - r^2 (d\theta^2 + \sin^2 \theta d\varphi^2), \quad (8)$$

где в качестве временной координаты применяется запаздывающее время $u = t - r$, а подстановки для метрических коэффициентов имеют вид $g_{00} = zy^2$, $g_{01} = y$. В статическом случае координаты эквивалентны координатам кривизн. В результате преобразования получается система уравнений для плотности энергии и давления

$$8\pi\mu = \frac{1-z}{r^2} - \frac{z'}{r} + \Lambda, \quad (9)$$

$$8\pi p = \frac{z-1}{r^2} + \frac{2z}{r} \frac{y'}{y} - \Lambda, \quad (10)$$

а также уравнение относительно функции $y(r)$

$$y'' + \left(\frac{3}{2} \frac{z'}{z} - \frac{1}{r} \right) y' + \frac{1}{z} \left(\frac{z''}{2} + \frac{1-z}{r^2} \right) y = 0, \quad (11)$$

либо то же уравнение, но относительно функции $z(r)$

$$z'' + 3 \frac{y'}{y} z' + 2 \left(\frac{y''}{y} - \frac{1}{r} \frac{y'}{y} - \frac{1}{r^2} \right) z = -\frac{2}{r^2}. \quad (12)$$

В данном случае общее решение для функции $y(r)$ выражается через частное $y_0(r)$ как

$$y = y_0 \left[A + B \int \frac{r dr}{z^{3/2} y_0^2} \right], \quad (13)$$

а общее решение неоднородного уравнения для функции $z(r)$ выражается через общее решение однородной части того же уравнения $z_0(r)$ как

$$z = z_0 [C_2 + C_1 z_1 + z_2], \quad (14)$$

где

$$z_1 = \int \frac{dr}{y^3 z_0^2}, \quad z_2 = -2 \int \frac{1}{y^3 z_0^2} \left(\int \frac{y^3 z_0}{r^2} dr \right) dr.$$

Опираясь на изложенные результаты, можно предложить процедуру получения семейств точных решений.

Метод сдвигов

Данный метод пригоден и для нелинейных уравнений, но искать частные решения этих уравнений труднее, а линейная суперпозиция частных решений не допускается. Поэтому именно линейный вид уравнений позволяет работать методу сдвигов в полную силу.

Точное статическое сферически симметричное решение уравнений Эйнштейна для идеальной жидкости определяется парой функций (y, z) . Пусть нам известно частное решение (y, z) , например плоское пространство-время; оно описывается парой $(y = 1, z = 1)$. Зафиксируем функцию z и найдем более общее решение для функции \bar{y} , в итоге получим другое точное решение (\bar{y}, z) . Произошел сдвиг в пространстве решений, для краткости назовем его y -сдвигом. Если нам удалось получить общее решение для функции y , то дальнейшая процедура замкнется и y -сдвиг превратится в тождественное преобразование. Если зафиксировать функцию y и найти более общее решение для функции \bar{z} , то получим еще одно точное решение (y, \bar{z}) . Такое преобразование назовем z -сдвигом.

Точные решения (\bar{y}, z) и (y, \bar{z}) можно использовать для получения новых точных решений. Применим y -сдвиг к паре (y, \bar{z}) , в результате получим пару (\tilde{y}, \bar{z}) . Применим z -сдвиг к паре (\bar{y}, z) , в результате получим пару (\bar{y}, \tilde{z}) . Вообще говоря $(\tilde{y}, \bar{z}) \neq (\bar{y}, \tilde{z})$, т.е. сдвиги не коммутируют.

Применяя сдвиги поочередно к различным частным решениям, можно получать семейства заведомо точных решений. Следует отметить, что физический смысл таких решений нужно исследовать дополнительно. Некоторые решения обладают сингулярностями, а некоторые вообще лишены физического смысла. Однако решение, полученное из нефизического решения, может обладать физическим смыслом. Следовательно, каждое точное решение представляет интерес хотя бы как затравочное. Результаты сдвигов удобно представлять графически в виде диаграмм.

Семейства точных решений

После подстановок (7) метрика принимает вид

$$ds^2 = zy^2 dt^2 - \frac{dr^2}{z} - r^2 (d\theta^2 + \sin^2 \theta d\varphi^2). \quad (15)$$

Плоское решение: $(y = 1, z = 1)$. Применим к этой паре функций z -сдвиг, т.е. подставим $y = 1$ в уравнение (12): $z'' - 2z/r = -2/r$. Решение однородной части есть $z_0 = c_1 r^2 + c_2 / r$. Подставим z_0 в формулу (14), получаем общее решение $\bar{z} = 1 + c_1 r^2 + c_2 / r$. Полученное решение $(y = 1, \bar{z})$ известно как метрика Котлера. Если $c_1 = 0$ (частный случай z -сдвига), то имеем внешнее решение Шварцшильда, z -сдвиг от которого дает решение Котлера. Если $c_2 = 0$ (другой частный случай z -сдвига), то получается решение де Ситтера, z -сдвиг от которого дает решение Котлера. Применение z -сдвига к решению Котлера дает тождественное преобразование, т.е. решение Котлера не меняется.

Применим y -сдвиг к плоскому решению, т.е. подставим $z = 1$ в уравнение (11): $y'' - y'/r = 0$. Общее решение данного уравнения есть $\bar{y} = A + Br^2$. Если в формулу (13) подставить $y_0 = A + Br^2$, то получим это же решение, т.е. y -сдвиг есть тождественное преобразование. Данное решение

$$(\bar{y} = A + Br^2, z = 1) \quad (16)$$

допускает физическую интерпретацию, только если $\Lambda \neq 0$. Из формулы (9) видно, что $8\pi\mu = \Lambda$, но из формулы (10) следует, что $8\pi p = 4B/(A + Br^2) - \Lambda$.

Решение Котлера: ($y = 1, z = 1 + c_1 r^2 + c_2 / r$) замкнуто относительно z -сдвига, попробуем применить y -сдвиг. В результате приходим к выражению

$$\bar{y} = A + B \int \frac{r^{5/2} dr}{(c_2 + r + c_1 r^3)^{3/2}}.$$

Подобные квадратуры выражаются через эллиптические интегралы в форме Лежандра. Во избежание громоздких выражений ограничимся частными случаями: $c_1 = 0$ или $c_2 = 0$.

Решение де Ситтера: ($y = 1, z = 1 + c_1 r^2$). Применим к этому решению y -сдвиг. В результате получится выражение ($\bar{y} = A + B / \sqrt{1 + c_1 r^2}, z = 1 + c_1 r^2$), известное как внутреннее решение Шварцшильда. Если $A = 0$, то получим частный случай y -сдвига, такое решение известно как статическая Вселенная Эйнштейна. Применение y -сдвига к нему дает внутреннее решение Шварцшильда. И, наконец, само внутреннее решение Шварцшильда оказывается замкнутым относительно y -сдвига.

Внешнее решение Шварцшильда: ($y = 1, z = 1 - 2m/r$), здесь $c_2 = -2m$. Применим к этому решению y -сдвиг. В результате получится выражение

$$\bar{y} = A + B \left[\frac{r^3 + 5mr^2 - 30mr}{\sqrt{r(r-2m)}} + 15m^2 \ln(r - m + \sqrt{r(r-2m)}) \right]. \quad (17)$$

Это решение допускает физическую интерпретацию, только если $\Lambda \neq 0$.

Интересный результат содержится в работе [3]. Если применить z -сдвиг к решению (16), то пара функций ($\bar{y} = A + Br^2, z = 1$) преобразуется в новое решение, выраженное через гипергеометрические функции

$$\tilde{z} = 1 - C_1 r^2 \sum_{i=1}^2 F(a_i, 3/a_i, 5/2, -Br^2) - \frac{C_2}{r} \sum_{k=1}^6 F(\bar{a}_k, \bar{b}_k, \bar{c}_k, -Br^2), \quad (18)$$

где $a_{1,2} = (9 \pm \sqrt{33})/4$, $\bar{a}_{1,2} = a_{1,2} - 3/2$, $\bar{a}_{3,4} = 1 \pm \sqrt{5/2}$, $\bar{a}_{5,6} = a_{3,4} + 3/2$, $\bar{b}_{1,2} = 3/a_{1,2} - 3/2$, $\bar{a}_{3,4} \bar{b}_{3,4} = -3/2$, $\bar{b}_{5,6} = \bar{b}_{3,4} + 3/2$, $\bar{c}_{1,2,3,4} = -1/2$, $\bar{c}_{5,6} = -5/2$. Если нас интересует только регулярное решение, то следует потребовать $C_2 = 0$.

Изменение алгебраического типа

Статические сферически симметричные решения уравнений тяготения могут относиться лишь к двум типам по алгебраической классификации Петрова [4]: O или D [5]. Однако принадлежность того или иного решения уравнений Эйнштейна к определенному типу пространства связана с законом распределения плотности вещества.

Тензор Вейля

$$W_{ijkl} = R_{jkl} + R_{k[ij]l} - R_{l[ij]k} - (R/3)g_{k[i}g_{j]l} \quad (19)$$

можно отобразить на 3-мерное комплексное евклидово пространство. В итоге получим бесследовую 3×3 матрицу Вейля

$$W = \text{diag}(W_{11}, W_{22}, W_{33}), \quad (20)$$

где

$$-\frac{i}{2}W_{11} = W_{22} = \bar{W}_{33}, \quad (21)$$

черта сверху обозначает комплексное сопряжение. Таким образом, пространство относится к типу D , если $W_{11} \neq 0$, и к типу O , если $W_{11} = 0$.

Алгебраическая классификация гравитационных полей связана с решением кубического характеристического уравнения

$$\lambda^3 + P\lambda + Q = 0, \quad (22)$$

где коэффициенты P и Q находятся по заданной матрице Вейля и равны $P = (-3/4)W_{11}^2$, $Q = (1/4)W_{11}^3$.

Уравнение (22) можно рассматривать как условие экстремума для «потенциальной» функции

$$V(\lambda, P, Q) = (1/4)\lambda^4 + (P/2)\lambda^2 + Q\lambda. \quad (23)$$

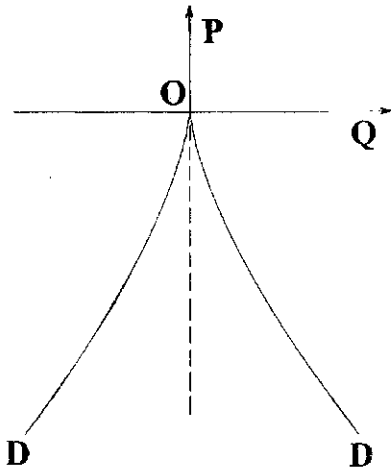


Рис.1. Проекция катастрофы сборки Уитни на плоскость управляющих параметров P и Q

Согласно классификации Тома [6] функция $V(\lambda, P, Q)$ описывает катастрофу сборки Уитни. В плоскости управляющих параметров P , Q точка сборки ($P = Q = 0$) по аналогии с теорией Ландау фазовых переходов 2-го рода соответствует фазовому переходу в алгебраический тип O (наиболее симметричную фазу). Отметим, что параметр P аналогичен температуре; $\partial V / \partial P$ – энтропии; $\partial^2 V / \partial P^2$ – теплоемкости. Однако у матрицы имеется «собственная» характеристика (ранг матрицы), которая ведет себя как теплоемкость твердого тела при фазовых переходах 2-го рода. При этом «фазами вещества» выступают типы гравитационных полей.

В нашем случае уравнение $\lambda^3 + P\lambda + Q = 0$ имеет три вещественных корня: $\lambda_2 = \lambda_3 = W_{11}/2$, $\lambda_1 = -W_{11}$. Обращение в ноль дискриминанта $(P/3)^3 + (Q/2)^2$ задает полукубическую параболу $P = -3(Q/2)^{2/3}$ (рис.1), отвечающую пространству типа D .

Подставляя корни кубического уравнения в функцию $V(\lambda, P, Q)$, получим экстремальные значения этой функции, выраженные через управляющий параметр P :

$$V(\lambda_1, P) = -2P^2/3, \quad V(\lambda_2, P) = V(\lambda_3, P) = P^2/12. \quad (24)$$

В точке $P = Q = 0$ наблюдаются скачки вторых производных по параметру P от функции $V(\lambda, P, Q)$: $\Delta(\partial^2 V / \partial P^2) = 1/6$ и $\Delta(\partial^2 V / \partial P^2) = -4/3$, что отвечает скачку ранга матрицы Вейля в точке сборки с трех до нуля.

Следовательно, непрерывное стремление параметров P и Q к нулю приводит к катастрофе: тип пространства меняется скачком ($D \rightarrow O$).

После общего рассмотрения возможности скачкообразного изменения типа пространства-времени перейдем к детальному исследованию. С учетом уравнений Эйнштейна элемент W_{11} матрицы Вейля может быть записан как

$$W_{11} = \frac{1}{3r} \left(z' + \frac{2(1-z)}{r} \right). \quad (25)$$

Из уравнения (9) можно выразить функцию z как

$$z = 1 - \frac{1}{r} \int (8\pi\mu - \Lambda) r^2 dr + \frac{C}{r}, \quad (26)$$

где C – постоянная величина, что позволяет представить z в виде $z = 1 + \Phi(r)$. Тогда (9) можно переписать как

$$8\pi\mu = -\frac{(r\Phi)'}{r^2} + \Lambda. \quad (27)$$

В любом случае функция z (или Φ) связана непосредственно с выбором μ – функции распределения плотности вещества. Поэтому тип пространства (O или D) зависит от функции z и оказывается никак не связанным с изменением функции y .

Для того чтобы установить, при каких функциях z пространство-время будет иметь тип O , необходимо в (25) приравнять W_{11} нулю. Интегрируя получившееся уравнение, находим $z = 1 + C_0 r^2$, где C_0 – постоянная интегрирования. Это соответствует однородному распределению вещества и, в частности, описывается внутренним решением Шварцшильда.

Другими словами, y – сдвиг оказывается автоморфизмом, т.е. не выводит за рамки исходного типа пространства. Применение z – сдвига может изменить исходный алгебраический тип пространства, а значит, привести к другому закону поведения плотности энергии μ .

Результаты

Изложенные результаты наглядно представлены в виде диаграммы на рис.2.

Рис.2. Наглядная схема цепочек сдвигов, показывающих переходы от одних точных решений к другим.

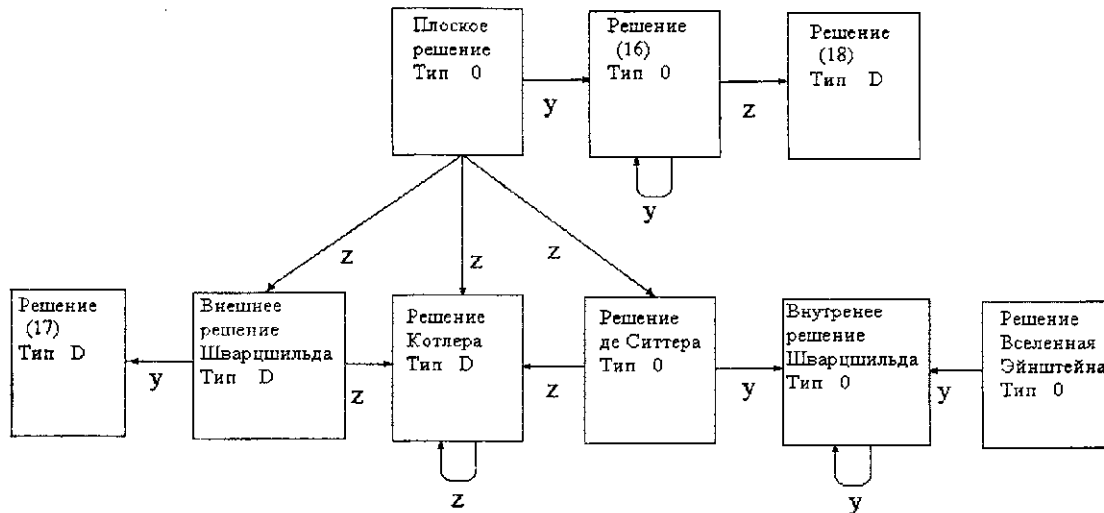


Рис.2. Наглядная схема цепочек сдвигов, показывающих переходы от одних точных решений к другим

СПИСОК ЛИТЕРАТУРЫ

1. Баранов А.М. Генерирование статических сферически симметричных решений уравнений тяготения / А.М.Баранов, Н.Н.Паклин // 1. Изменение алгебраического типа пространства Деп. ВИНТИ 20.09.88 № 7037-В88; 2. Получение решений Деп. ВИНТИ 20.09.88 №7038-В88; 3. Суперпозиция и конструирование метрик Деп. ВИНТИ 14.11.88 № 8040-В88.
2. Баранов А.М. Генерирование и конструирование статических сферически-симметричных решений уравнений тяготения / А.М.Баранов, Н.Н.Паклин // Известия вузов. Физика. – 1990. – №6. – С. 5-9.
3. Паклин Н.Н. Аналитические модели нейтронных звезд / Н.Н.Паклин // Тезисы конф. «Теоретические и экспериментальные проблемы гравитации». - Новгород, 1996. – С.121.
4. Петров А.З. Новые методы в общей теории относительности. – М.: Наука, 1966.
5. Баранов А.М. Алгебраический тип сферически симметричного поля / А.М.Баранов, А.А.Чешель // Материалы V Сов. грав. конф. – М., 1981. - С.107.
6. Постон Т. Теория катастроф и ее приложения / Т.Постон, И.Стюарт. - М.: Мир, 1980.

ON GENERATION OF SPHERICALLY SYMMETRIC STATIC SOLUTIONS OF GRAVITATIONAL EQUATIONS AND A CHANGE OF GRAVITATIONAL FIELD'S ALGEBRAIC TYPE

A.M. Baranov, N.N. Paklin

The perfect fluid's spherically symmetric static distribution inside of a gravitating ball is considered. The metric coefficients' transformation to spherical coordinates leads to a linear form of Einstein's equations. The procedure of deriving families of exact solutions from the well-known solutions of gravitational equations is suggested. A linearity of the field's equations supposes generalization of particular solutions on solutions of with new physical properties.